

ОЦЕНКА ВРЕМЕНИ РАБОТЫ ГЕНЕРАТОРА ОГНЕТУШАЩЕГО АЭРОЗОЛЯ

С.Н. Бондаренко

(представлено докт. техн. наук Ю.А. Абрамовым)

В статье рассмотрен один из подходов в определении времени работы генератора огнетушащего аэрозоля путем численного интегрирования системы дифференциальных уравнений, описывающих его работу, с последующим аналитическим решением системы нелинейных уравнений.

Проблема создания простой, эффективной, надежной и экологически безопасной установки объемного пожаротушения стоит достаточно остро. В последние годы разработано принципиально новое средство объемного тушения – аэрозолеобразующие огнетушащие составы. Получают их с помощью специальных устройств – генераторов огнетушащего аэрозоля (ГОА). В настоящее время не существует математической модели, достоверно описывающей рабочие процессы в ГОА. Задача создания такой модели является актуальной. Наличие математической модели позволит разработать методику, с помощью которой можно осуществить проектирование ГОА с заданными техническими характеристиками.

Один из путей решения данной задачи предложен в работе [1], где получена система из трех дифференциальных уравнений первого порядка, описывающих рабочие процессы протекающие в камере ГОА для случая торцевого горения аэрозолеобразующего заряда и докритического режима истечения газо-аэрозольного состава из камеры генератора:

$$\begin{cases} \frac{d\bar{T}}{dt} = \frac{R \cdot \bar{T}}{\bar{p} \cdot V_K} \left[\rho_T S_3 u_1 \cdot \left(\frac{\bar{p}}{P_{ATM}} \right)^v \cdot (\chi k \bar{T}_T - \bar{T}) + \bar{T} \cdot (1 - k) \cdot m_* (\bar{p}, \bar{T}) \right]; \\ \frac{d\bar{p}}{dt} = \frac{R}{V_K} \left[\rho_T S_3 u_1 \cdot \left(\frac{\bar{p}}{P_{ATM}} \right)^v \chi k \bar{T}_T - m_* (\bar{p}, \bar{T}) k \bar{T} \right]; \\ \frac{dV_K}{dt} = S_3 u_1 \cdot \left(\frac{\bar{p}}{P_{ATM}} \right)^v; \end{cases} \quad (1),$$

где \bar{T}, \bar{p} – среднеобъемные температура и давление газоаэрозольной смеси; V_K – свободный объем камеры генератора; P_{ATM} –

атмосферное давление; k – показатель адиабаты; ρ_T – плотность аэрозолеобразующего заряда; S_3 – площадь поперечного сечения заряда; \bar{T}_T – средняя температура горения заряда; χ – коэффициент тепловых потерь в камере генератора; R – газовая постоянная; u_1 , v – температурный коэффициент и показатель степени в законе горения аэрозолеобразующего заряда; $m_*(\bar{p}, \bar{T})$ – массовый расход при докритическом режиме истечения газозольной смеси через выходное отверстие ГОА, который определяется следующим выражением:

$$m_*(\bar{p}, \bar{T}) = \mu \cdot S_c \cdot \sqrt{\frac{2 \cdot k}{k-1} \cdot \frac{\bar{p}^2}{R \cdot \bar{T}} \cdot \left(\frac{P_{ATM}}{\bar{p}}\right)^{\frac{2}{k}} \left[1 - \left(\frac{P_{ATM}}{\bar{p}}\right)^{\frac{k-1}{k}}\right]} \quad (2)$$

где S_c – площадь поперечного сечения выходного отверстия ГОА; μ – коэффициент потерь через выходное отверстие.

Интегрирование системы (1) методом Рунге-Кутты 4-го порядка с шагом 0.0001, при начальных условиях: $\bar{T}(0) = 288$ °K, $\bar{p}(0) = 1.05 \cdot 10^5$ Па, $V_K = 1.257 \cdot 10^{-5}$ м³ и при следующих значениях параметров: $\bar{T}_T = 1597$ °K; $\rho_T = 1800$ кг·м⁻³; $\chi = 0.9$; $\mu = 0.97$; $R = 287$ К/Дж·(К·моль)⁻¹; $v = 0.286$ $P_{ATM} = 1.05 \cdot 10^5$ Па; $k = 1.4$; $S_3 = 1.257 \cdot 10^{-3}$ м²; $S_c = 7.54 \cdot 10^{-5}$ м²; $u_1 = 0.005$ К⁻¹; $\mu = 0.97$, позволило получить зависимости среднеобъемных температуры и давления в камере ГОА, а также свободного объема камеры от времени.

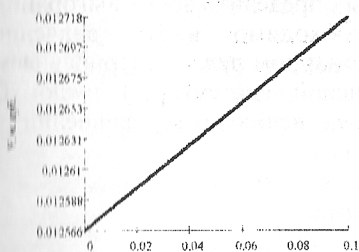


Рисунок 1 – График изменения свободного объема камеры ГОА во времени.

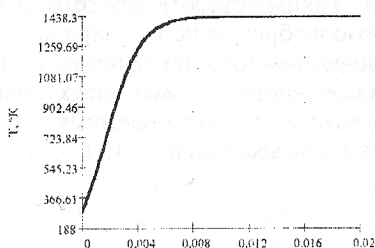


Рисунок 2 – График изменения среднеобъемной температуры во времени

Анализ графиков свидетельствует о существовании установившегося режима, когда среднеобъемные значения давления, температуры и массового расхода через выходное отверстие генератора остаются неизменными во времени, а

свободный объем камеры ГОА (рисунок 1) изменяется по линейному закону.

Следовательно, производная от свободного объема камеры по времени есть величина постоянная. Из третьего уравнения системы (1) получим:

$$\frac{dV_K}{dt} = S_1 u_1 \cdot \left(\frac{P_{CT}}{P_{ATM}} \right)^{\nu} \quad (3)$$

где P_{CT} – среднеобъемное давление на стационарном режиме работы ГОА.

Исходя из геометрического смысла первой производной, изменение свободного объема камеры можно представить:

$$\frac{dV_K}{dt} = \frac{V_K - V_K^0}{t_p} = \frac{V_{ЗАР}}{t_p} = \frac{l \cdot S_1}{t_p} \quad (4)$$

где $V_{ЗАР}$ – объем твердотопливного заряда; t_p – время выгорания заряда; l – длина шашки аэрозолеобразующего заряда.

Сопоставляя выражения (3) и (4) получим зависимость, позволяющую оценить время работы генератора:

$$t_p = \frac{l}{u_1 \cdot \left(\frac{P_{CT}}{P_{ATM}} \right)^{\nu}} \quad (5)$$

Таким образом, для того чтобы определить время выгорания аэрозолеобразующего заряда, необходимо найти значение среднеобъемного давления на стационарном режиме. Приравняем правые части первых двух уравнений системы (1) нулю. В результате получим систему из двух нелинейных уравнений с двумя неизвестными P_{CT} и T_{CT} :

$$\begin{cases} P_{CT} S_1 u_1 \cdot \left(\frac{P_{CT}}{P_{ATM}} \right)^{\nu} \cdot (\chi k \bar{T}_T - T_{CT}) + \\ + T_{CT} \cdot (1-k) \cdot \mu \cdot S_c \cdot \sqrt{\frac{2 \cdot k}{k-1} \cdot \frac{P_{CT}^2}{R \cdot T_{CT}} \cdot \left(\frac{P_{ATM}}{P_{CT}} \right)^k \left(1 - \left(\frac{P_{ATM}}{P_{CT}} \right)^{\frac{k-1}{k}} \right)} = 0; \\ P_{CT} S_1 u_1 \cdot \left(\frac{P_{CT}}{P_{ATM}} \right)^{\nu} \cdot \chi k \bar{T}_T - \mu \cdot S_c \cdot \sqrt{\frac{2 \cdot k}{k-1} \cdot \frac{P_{CT}^2}{R \cdot T_{CT}} \cdot \left(\frac{P_{ATM}}{P_{CT}} \right)^k \left(1 - \left(\frac{P_{ATM}}{P_{CT}} \right)^{\frac{k-1}{k}} \right)} k T_{CT} = 0. \end{cases} \quad (6)$$

где T_{CT} – среднеобъемная температура на стационарном режиме работы генератора.

Выразив из второго уравнения системы (6) T_{CT} , подставляем это значение в первое уравнение. Затем решая второе уравнение с учетом найденного значения T_{CT} , для случая когда

$$v = \frac{k-1}{k} \quad (7)$$

получим:

$$P_{CT} = \left(\frac{2 \cdot k \cdot (\mu \cdot S_c \cdot P_{ATM})^2}{2 \cdot k \cdot (\mu \cdot S_c \cdot P_{ATM})^2 - (\rho_T \cdot S_j \cdot u_1)^2 \cdot \chi \cdot T_T \cdot R \cdot (k-1)} \right)^{\frac{1}{v}} \cdot P_{ATM} \quad (8)$$

Подставляя выражение (8) в формулу (5) получим зависимость для определения времени работы ГОА:

$$t_p = \frac{l \cdot (2 \cdot k \cdot (\mu \cdot S_c \cdot P_{ATM})^2 - (\rho_T \cdot S_j \cdot u_1)^2 \cdot \chi \cdot T_T \cdot R \cdot (k-1))}{2 \cdot u_1 \cdot k \cdot (\mu \cdot S_c \cdot P_{ATM})^2} \quad (9)$$

Для проверки адекватности полученных выражений был взят генератор марки АПГ ввиду того что, во-первых, генераторы этой марки сертифицированы на территории Украины, во-вторых, геометрические характеристики корпуса генераторов данной марки совпадают с принятыми в теоретической модели, в-третьих, процесс горения топлива, используемого в ГОА этой марки, может вполне адекватно описан степенной моделью процесса горения.

Проведенный численный эксперимент со значениями параметров, соответствующих техническим характеристикам генератора марки АПГ-3, позволил получить расчетное значение времени работы ГОА, отличающееся от паспортного на 5 %. Также установлено, что на вычисленный параметр значительное влияние оказывают геометрические размеры камеры и характеристики топлива u_1 .

ЛИТЕРАТУРА

1 Бондаренко С.Н. Упрощенная математическая модель процессов в камере генератора огнетушащего аэрозоля. // Проблемы пожарной безопасности. Сб. научн. тр. – Вып. 5. – Харьков: ХИПБ, 1999. – С. 50 – 53.